

Supporting Information

Noncovalent binding phenomena in the adsorption of amino acids on Ag/Au surfaces: A theoretical approach

Catalina Nicolau,^[a] Sergi Burguera,^[a] María de las Nieves Piña,^[a] Antonio Bauzá*^[a]

^[a]Departament de Química, Universitat de les Illes Balears Ctra. de Valldemossa km 7.5, 07122 Palma de Mallorca (Balears), Spain. E-mail: antonio.bauza@uib.es

Table S1	page 2
Table S2	page 3
Figure S1	page 4
Figure S2	page 4

Table S1. Values of the density at the bond critical points (ρ_{x100} , in a.u.) that characterize the NCIs present in complexes **1–3, 5, 6, 8, 9, 11, 13, 15–23, 25–27, 29, 31, 33** and **35–40**. In addition, the values of the laplacian of ρ ($\nabla^2\rho_{x100}$), the potential (V_{x100}) and kinetic (G_{x100}) energy densities as well as the total energy density (H_{x100}) are also indicated in a.u.

Complex	ρ_{x100}	$\nabla^2\rho_{x100}$	V_{x100}	G_{x100}	H_{x100}
1	0.54	2.19	-0.47	0.51	0.04
2	0.37	1.67	-0.33	0.37	0.04
3	0.96	3.94	-0.94	0.96	0.02
5	0.49	1.91	-0.41	0.44	0.03
6	1.51	4.09	-0.99	1.01	0.02
8	1.62	4.19	-1.06	1.05	-0.01
9	1.72	7.96	-2.16	2.07	-0.09
11	0.97	1.50	-0.32	0.35	0.03
13	0.98	4.14	-1.02	1.03	0.01
15	1.51	5.77	-1.61	1.52	-0.09
16	0.77	2.52	-0.42	0.53	0.09
17	1.28	4.44	-0.90	1.01	0.11
18	1.71	6.28	-1.42	1.49	0.07
19	1.19	5.43	-1.33	1.35	0.02
20	0.86	1.63	-0.34	0.37	0.03
21	1.26	3.41	-0.69	0.77	0.08
22	0.80	2.56	-0.47	0.55	0.08
23	1.98	5.11	-1.24	1.26	0.02
25	0.95	2.72	-0.55	0.62	0.07
26	2.03	5.36	-1.37	1.36	-0.01
28	1.85	4.61	-1.17	1.16	-0.01
29	1.99	6.97	-1.59	1.67	-0.12
31	1.02	2.25	-0.40	0.48	0.08
33	1.86	4.62	-1.20	1.18	-0.02
35	2.98	6.76	-2.13	1.91	-0.22
36	0.83	2.98	-0.52	0.63	0.09
37	0.89	2.91	-0.53	0.63	0.10
38	1.53	5.46	-1.14	1.25	0.09
39	1.46	5.27	-1.09	1.20	0.11
40	0.93	2.48	-0.50	0.56	0.06

Table S2. Energy Decomposition Analysis into exchange–repulsion ($E_{\text{ex-rep}}$), electrostatics (E_{el}), orbital (E_{orb}), electron correlation (E_{cor}) and dispersion (E_{disp}) terms in kcal/mol for complexes **1–3, 5, 6, 8, 9, 11, 13, 15–23, 25–27, 29, 31, 33** and **35–40**.

Complex	$E_{\text{ex-rep}}$	E_{el}	E_{orb}	E_{cor}	E_{disp}
1	45,1	-11,3	-18,2	-9,9	-8,6
2	8,6	-2,8	-2,4	-3,5	-5,7
3	27,9	0,8	-11,0	-11,4	-13,5
5	30,1	1,8	-13,1	-13,1	-15,1
6	56,6	-13,1	-20,6	-20,1	-21,8
8	76,0	-21,5	-24,8	-25,3	-27,5
9	74,2	-17,1	-29,2	-17,4	-15,1
11	36,0	9,5	-17,9	-16,0	-17,3
13	58,1	-9,7	-22,8	-19,2	-19,0
15	45,2	-5,8	-19,2	-14,9	-15,2
16	27,0	3,4	-13,3	-10,3	-11,6
17	30,8	3,3	-14,4	-11,2	-12,9
18	42,0	-0,5	-18,6	-13,5	-14,9
19	45,3	-3,6	-16,8	-15,7	-17,9
20	26,1	5,1	-14,0	-11,2	-13,0
21	44,2	-10,8	-17,0	-11,2	-10,1
22	11,3	-3,7	-3,1	-4,8	-7,1
23	34,2	-0,8	-12,9	-14,2	-16,9
25	36,2	0,0	-14,9	-15,9	-18,7
26	74,4	-21,2	-26,2	-26,4	-26,7
28	94,9	-30,1	-31,6	-32,1	-33,3
29	77,2	-17,7	-29,2	-20,3	-17,9
31	42,7	6,6	-19,4	-18,8	-21,3
33	71,5	-15,8	-27,6	-23,7	-22,9
35	63,0	-13,9	-25,8	-19,1	-18,4
36	29,4	4,6	-15,8	-11,2	-13,1
37	29,4	4,4	-12,3	-12,2	-15,1
38	42,0	-0,7	-17,4	-15,3	-17,8
39	47,1	-5,5	-16,2	-18,0	-21,4
40	28,1	4,7	-15,0	-12,5	-15,5

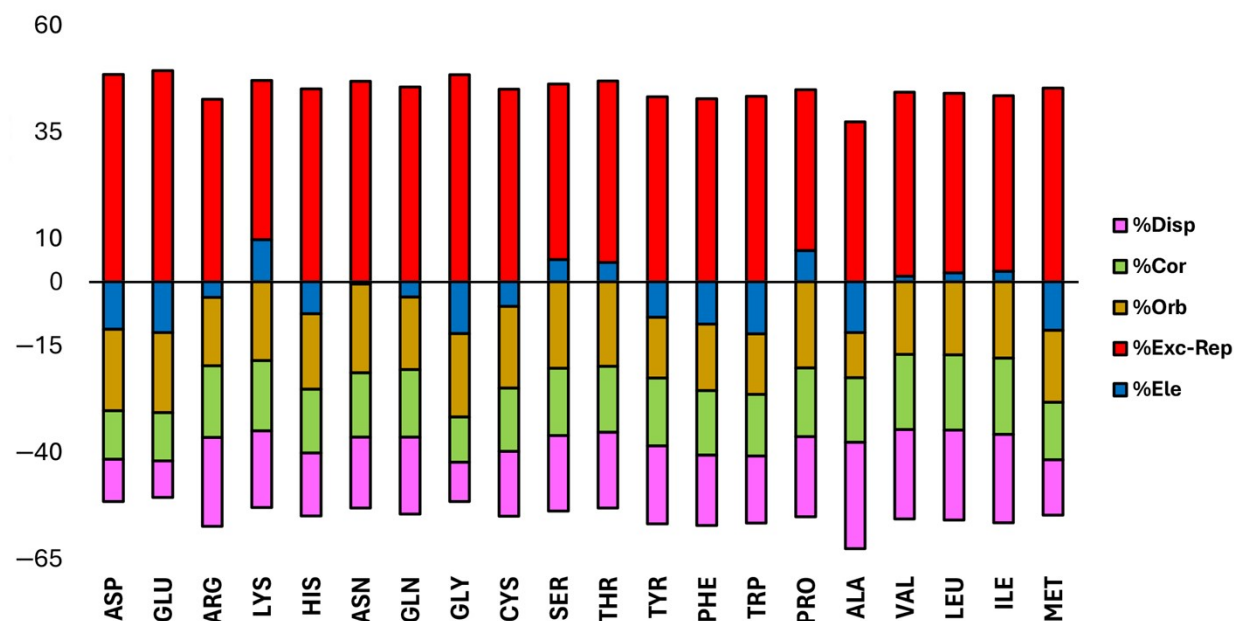


Figure S1. Relative contributions (in %) of the exchange–repulsion ($E_{\text{ex-rep}}$ in red), electrostatics (E_{el} in blue), orbital (E_{orb} in orange), electron correlation (E_{cor} in green) and dispersion (E_{disp} in purple) terms to the total interaction energy for Ag26 complexes **1** to **20**.

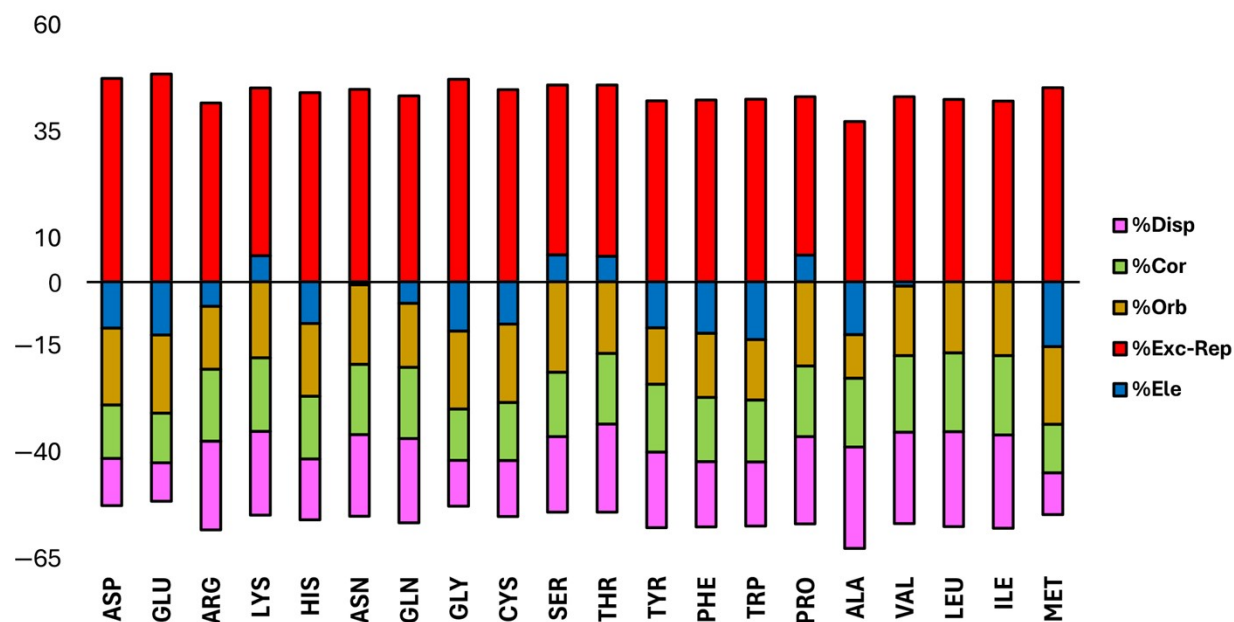


Figure S2. Relative contributions (in %) of the exchange–repulsion ($E_{\text{ex-rep}}$ in red), electrostatics (E_{el} in blue), orbital (E_{orb} in orange), electron correlation (E_{cor} in green) and dispersion (E_{disp} in purple) terms to the total interaction energy for Au26 complexes **21** to **40**.